

文章编号: 1000-8152(2012)11-1397-06

并联混合有源滤波器哈密顿系统建模及无源控制

鲁 伟, 徐长波, 李春文

(清华大学 自动化系, 北京 100084)

摘要: 并联混合有源滤波器(SHAPF)的控制策略是决定其稳定性和谐波治理效果的关键因素之一, 利用SHAPF自身的无源性设计控制器可以取得比常规控制器更好的控制效果。首先建立了SHAPF端口受控哈密顿系统模型, 然后基于互联和阻尼配置无源控制方法, 提出了一种新的SHAPF非线性控制策略, 从理论上保证了闭环系统的渐进稳定。最后仿真实验证明了该控制策略能够有效消除电网中的谐波电流, 与传统线性二次型调节器(LQR)相比, 该控制策略具有更好的稳态补偿效果和对负载变化的干扰抑制能力。

关键词: 谐波治理; 混合有源滤波器; 哈密顿; 无源控制; 渐进稳定

中图分类号: TM76 文献标识码: A

Hamiltonian modeling and passivity-based control of shunt hybrid active power filter

LU Wei, XU Chang-bo, LI Chun-wen

(Department of Automation, Tsinghua University, Beijing 100080, China)

Abstract: A good control strategy is crucial to the stability and desired performance of the shunt hybrid active power filter (SHAPF). Based on the passivity of the SHAPF, a nonlinear controller is designed that outperforms the traditional controllers. Firstly, a port-controlled Hamiltonian system model is built for the SHAPF, and then a novel control strategy of the SHAPF is developed by using the passive controller design method through interconnection and damping- assignment. Theoretically, the proposed control strategy can asymptotically stabilize the close-loop system. Simulation results show higher harmonic elimination and robust performances are achieved in comparison with the linear quadratic regulator (LQR).

Key words: harmonic suppression; hybrid active power filter; Hamiltonians; passivity-based control; asymptotic stability

1 引言(Introduction)

随着大量非线性负载的广泛应用, 电网中的谐波问题得到了越来越多的关注。由于传统无源滤波器(passive power filter, PPF)维护简单且具有良好的经济性, 在电网当中得到了广泛的应用, 但其滤波效果受电网参数影响较大, 只能对特定次的谐波进行补偿^[1]。而有源滤波器(active power filter, APF)具有良好的动态补偿性能^[2], 能够克服PPF存在的不足, 但其存在着造价较高和不易实现大容量谐波补偿等问题。

混合有源滤波器(hybrid active power filter, HAPF)结合了PPF和APF的优点, 降低了系统的造价, 并且能够获得较好的滤波效果, 是当前电网谐波治理实用化研究的热点。已有多种拓扑结构的HAPF相继被提出^[3-10], 其中PPF与APF串联后再并入电网的方案^[7-10], 由于结构简单、不需要耦合变压器且易于在APF基础上进行改造, 得到了国内外专家学者的广

泛关注, 本文即针对此拓扑结构并联混合有源滤波器(shunt hybrid active power filter, SHAPF)进行研究。

控制器的设计是SHAPF研究的关键问题之一, 目前已有多种控制策略应用于SHAPF。文献[8]提出了一种 $d-q$ 轴解耦非线性控制方法, 但是其控制律与直流侧电压的导数关系密切, 实现起来比较困难。文献[9]提出了一种适用于SHAPF的滑模变结构控制方法, 但是抖振问题在一定程度上限制了其应用。文献[10]提出了一种基于Lyapunov函数的SHAPF控制方法, 但在大的负载变化时系统状态可能存在稳态误差。从系统能量角度出发的无源控制理论由于其物理意义明确, 可实现系统的渐进稳定, 且对参数摄动和外界扰动具有较强的鲁棒性, 已经应用于机器人^[11]、功率变换器^[12]和同步发电机^[13]等多个研究领域, 并且取得了很好的控制效果。但无源控制理论在SHAPF系统中的应用还较少见。

本文基于SHAPF系统自身的非线性和无源性,

首先建立了SHAPF端口受控哈密顿(port controlled Hamiltonian, PCH)系统周期平均模型,然后基于互联和阻尼配置无源控制(interconnection and damping assignment-passivity based control, IDA-PBC)方法,提出了一种新的SHAPF控制策略,仿真结果验证了该控制策略的有效性和可靠性。

2 SHAPF的结构及原理(Structure and basic principle of SHAPF)

本文研究的并联混合有源滤波器电路结构如图1所示。它是由APF和PPF串联后并入电网,其中: $v_{Sj}, j = a, b, c$,为理想电网电压; L_S 为电网侧等效电感; v_{Lj} 为公共连接点(point of common coupling, PCC)处的电压; i_{Sj}, i_{Lj} 和 i_{Fj} 分别为电网电流、负载电流和PPF支路的电流; C_F, L_F 和 R_F 分别为PPF的电容、电感和电阻; v_{jn} 为有源逆变器的输出电压; C_{dc} 为直流侧电容; v_{dc} 和 i_{dc} 为直流侧电容电压及流过的电流; S_1-S_6 为开关器件。通过检测和控制算法合理控制开关器件的开断,实现 i_{Fj} 跟踪指令电流信号 i_{Fj}^* ,使电网电流为期望的正弦波。

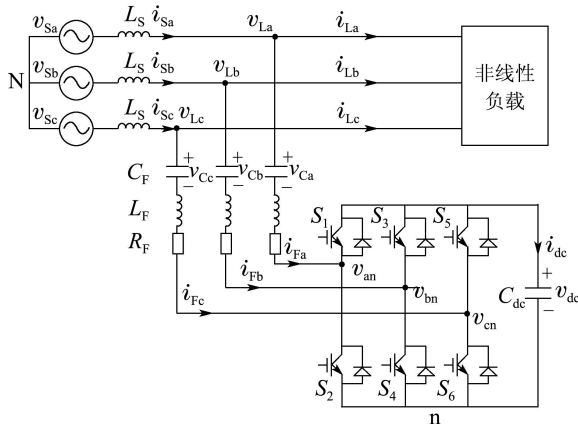


图1 SHAPF的电路结构

Fig. 1 Structure of SHAPF

电路中的PPF具有承担系统基波电压和补偿部分无功功率的功能,有源部分用来改善PPF的滤波特性,避免了PPF可能与电网发生的谐波放大现象。通过无源部分和有源部分的配合,有源部分承担很小的基波电压,从而大大降低有源部分的容量。

3 SHAPF的PCH系统建模(PCH modeling of SHAPF)

由文献[10]可知,SHAPF在d-q同步旋转坐标系下的周期平均模型为

$$\left\{ \begin{array}{l} L_F \dot{i}_{Fd} = -R_F i_{Fd} + \omega L_F i_{Fq} - v_{Cd} - u_d v_{dc} + v_{Ld}, \\ L_F \dot{i}_{Fq} = -R_F i_{Fq} - \omega L_F i_{Fd} - v_{Cq} - u_q v_{dc} + v_{Lq}, \\ C_F \dot{v}_{Cd} = i_{Fd} + \omega C_F v_{Cq}, \\ C_F \dot{v}_{Cq} = i_{Fq} - \omega C_F v_{Cd}, \\ C_{dc} \dot{v}_{dc} = u_d i_{Fd} + u_q i_{Fq}, \end{array} \right. \quad (1)$$

其中: v_{Ck}, i_{Fk}, v_{Lk} 和 $u_k(k = d, q)$ 分别表示d-q坐标系下,PPF电容两端的电压、流经无源滤波器支路的电流、PCC处的电压和等效占空比函数; ω 为电网电压角频率。

定义系统的状态变量为

$$x = \begin{bmatrix} x_1 \\ x_2 \\ x_3 \\ x_4 \\ x_5 \end{bmatrix} = \begin{bmatrix} L_F i_{Fd} \\ L_F i_{Fq} \\ C_F v_{Cd} \\ C_F v_{Cq} \\ C_{dc} v_{dc} \end{bmatrix}, \quad (2)$$

其中 x_1, x_2, x_3, x_4 和 x_5 分别表示d-q坐标系下无源滤波支路电感产生的磁链、无源滤波支路电容两端的电荷量和直流侧电容两端的电荷量。

选取系统的哈密顿能量函数为

$$H = \frac{x_1^2 + x_2^2}{2L_F} + \frac{x_3^2 + x_4^2}{2C_F} + \frac{x_5^2}{2C_{dc}}. \quad (3)$$

显然,正定函数 H 反映了系统储能元件中的能量,具有明确的物理意义。

进而可将SHAPF的周期平均模型(1)表达为如下PCH系统模型的形式:

$$\dot{x} = [J(u) - R] \frac{\partial H}{\partial x} + g\varepsilon, \quad (4a)$$

其中: $J(u)$ 为反对称矩阵,反映了系统内部的互联特性,其满足 $J(u) = -J^T(u)$; R 为对称半正定矩阵,反映了系统的耗散特性; 向量 ε 反映了系统与外部的能量交换。各矩阵的具体表达式为

$$J(u) = \begin{bmatrix} 0 & \omega L_F & -1 & 0 & -u_d \\ -\omega L_F & 0 & 0 & -1 & -u_q \\ 1 & 0 & 0 & \omega C_F & 0 \\ 0 & 1 & -\omega C_F & 0 & 0 \\ u_d & u_q & 0 & 0 & 0 \end{bmatrix},$$

$$R = \begin{bmatrix} R_F & 0 & 0 & 0 & 0 \\ 0 & R_F & 0 & 0 & 0 \\ 0 & 0 & 0 & 0 & 0 \\ 0 & 0 & 0 & 0 & 0 \\ 0 & 0 & 0 & 0 & 0 \end{bmatrix}, \quad g = \begin{bmatrix} 1 & 0 \\ 0 & 1 \\ 0 & 0 \\ 0 & 0 \\ 0 & 0 \end{bmatrix},$$

$$u = \begin{bmatrix} u_d \\ u_q \end{bmatrix}, \quad \varepsilon = \begin{bmatrix} v_{Ld} \\ v_{Lq} \end{bmatrix}.$$

为了进行无源控制器的设计,需要对SHAPF系统的无源性进行验证。定义系统的输出方程为

$$y = g^T \frac{\partial H}{\partial x}, \quad (4b)$$

则可以得到如下耗散不等式成立:

$$\frac{dH}{dt} = \varepsilon^T y - \frac{\partial^T H}{\partial x} R \frac{\partial H}{\partial x} \leq \varepsilon^T y. \quad (5)$$

这说明系统能量的增长率总是小于外部注入到系统能量的供给率,即系统运动总是伴随着能量的损失。由系统无源性的定义^[14]可知SHAPF的PCH系统是无源的。

4 SHAPF 无源控制器的设计(Passivity-based controller of SHAPF)

4.1 IDA-PBC方法(IDA-PBC method)

工程上通常采用IDA-PBC方法进行PCH系统控制器的设计。该方法的基本思想是设计反馈控制律 $u = \beta(x)$ 配置系统的互联矩阵和耗散矩阵, 从而使闭环系统具有如下结构:

$$\dot{x} = (J_d - R_d) \frac{\partial H_d}{\partial x}, \quad (6)$$

其中: $J_d = -J_d^T$ 和 $R_d = R_d^T \geq 0$ 为系统期望的互联和耗散矩阵; H_d 为闭环系统的哈密顿能量函数, 其满足 $H_d = H + H_a$.

由IDA-PBC定理^[14]可知, 对于给定的PCH系统(4)及期望的平衡点 x^* , 若能找到函数 $\beta(x)$, J_a , R_a 和一个向量函数 $K(x)$ 满足

$$K(x) = \frac{\partial H_a}{\partial x}, \quad (7)$$

$$(J_d - R_d)K(x) + (J_a - R_a) \frac{\partial H}{\partial x} - g\varepsilon = 0, \quad (8)$$

且使得如下条件成立:

1) 结构守恒, 即

$$\begin{cases} J_d = J + J_a = -(J + J_a)^T, \\ R_d = R + R_a = (R + R_a)^T; \end{cases} \quad (9)$$

2) 可积性, 即

$$\frac{\partial K(x)}{\partial x} = \left[\frac{\partial K(x)}{\partial x} \right]^T; \quad (10)$$

3) 在平衡点 $x = x^*$ 处, 满足

$$\frac{\partial H_d}{\partial x} \Big|_{x=x^*} = 0; \quad (11)$$

4) Lyapunov稳定性, 即海森矩阵满足

$$\frac{\partial^2 H_d}{\partial x^2} \Big|_{x=x^*} > 0; \quad (12)$$

则平衡点 x^* 为闭环系统的一个稳定平衡点.

4.2 SHAPF 无源控制器的设计(Passivity-based controller of SHAPF)

SHAPF的控制目标为消除电网中的谐波电流, 实现电网电流的正弦化, 即 $i_{Sj} \rightarrow i_{Sj}^*$. 由于本文研究的SHAPF系统是一个典型的欠驱动^[15]系统, 并且系统补偿电流的参考值 i_{Fj}^* 可以通过检测算法获得, 所以基于间接控制的思想通过控制状态 $x_1 \rightarrow x_1^*$ 和 $x_2 \rightarrow x_2^*$ 使状态 x_3 , x_4 和 x_5 渐进跟踪其参考值, 最终实现 $x \rightarrow x^*$.

为了简化系统控制器的设计, 本文选取 $J_d = J$, $R_d = R + R_a$, 即

$$J_a = 0, R_a = \text{diag}\{R_{a1}, R_{a2}, R_{a3}, R_{a4}, R_{a5}\}.$$

令向量函数

$$K(x) = [k_1(x) \ k_2(x) \ k_3(x) \ k_4(x) \ k_5(x)]^T,$$

则由式(8)可得系统的控制律

$$\begin{cases} u_d = \frac{1}{k_5(x)} [-(R_F + R_{a1})k_1(x) + \omega L_F k_2(x) - \\ \quad k_3(x) - \frac{R_{a1}}{L_F} x_1 - v_{Ld}], \\ u_q = \frac{1}{k_5(x)} [-(R_F + R_{a2})k_2(x) - \omega L_F k_1(x) - \\ \quad k_4(x) - \frac{R_{a2}}{L_F} x_2 - v_{Lq}]. \end{cases} \quad (13)$$

假设向量函数 $K(x)$ 只与 x_3 和 x_4 有关, 即 $k_i(x) = k_i(x_3, x_4)$ ($i = 1, 2, 3, 4, 5$). 由系统的可积性条件可知

$$\frac{\partial k_i(x)}{\partial x_l} = \frac{\partial k_l(x)}{\partial x_i}, \quad (14)$$

其中 $l = 1, 2, 3, 4, 5$. 通过求解可得到 $k_1(x) = a_1$, $k_2(x) = a_2$ 和 $k_5(x) = a_5$ 均为常数.

根据系统在平衡点处的条件可知

$$[K(x) + \frac{\partial H}{\partial x}] \Big|_{x=x^*} = 0, \quad (15)$$

则

$$\begin{cases} k_1(x^*) = -\frac{x_1^*}{L_F}, \quad k_2(x^*) = -\frac{x_2^*}{L_F}, \quad k_3(x^*) = -\frac{x_3^*}{C_F}, \\ k_4(x^*) = -\frac{x_4^*}{C_F}, \quad k_5(x^*) = -\frac{x_5^*}{C_{dc}}. \end{cases}$$

考虑到 $k_1(x)$, $k_2(x)$ 和 $k_5(x)$ 为常数, 在满足可积性条件的约束下, $K(x)$ 各分量依次取为

$$\begin{cases} k_1(x) = k_1(x^*) = -\frac{x_1^*}{L_F}, \\ k_2(x) = k_2(x^*) = -\frac{x_2^*}{L_F}, \\ k_3(x) = -\frac{x_3}{C_F} + \eta(x_3 - x_3^*), \\ k_4(x) = -\frac{x_4}{C_F} + \mu(x_4 - x_4^*), \\ k_5(x) = k_5(x^*) = -\frac{x_5^*}{C_{dc}}, \end{cases} \quad (16)$$

其中参数 $\eta, \mu > 0$. 将式(16)代入到式(8)中, 可知系统欠驱动状态变量的参考值为

$$\begin{aligned} x_3^* &= \frac{1}{\eta(R_{a3}R_{a4} + \omega^2 C_F^2)L_F} [\omega L_F R_{a4}x_4 + \\ &\quad (\eta R_{a3}R_{a4} + \eta\omega^2 C_F^2 - \omega^2 C_F)L_F x_3 + \\ &\quad R_{a4}x_1^* + \omega C_F x_2^*], \end{aligned} \quad (17)$$

$$\begin{aligned} x_4^* &= \frac{1}{\mu(R_{a3}R_{a4} + \omega^2 C_F^2)L_F} [-\omega L_F R_{a3}x_3 + \\ &\quad (\mu R_{a3}R_{a4} + \mu\omega^2 C_F^2 - \omega^2 C_F)L_F x_4 - \\ &\quad \omega C_F x_1^* + R_{a3}x_2^*], \end{aligned} \quad (18)$$

$$x_5^* = x_5 + \frac{C_{dc}}{R_{a5}} (u_d \frac{x_1^*}{L_F} + u_q \frac{x_2^*}{L_F}). \quad (19)$$

将 $K(x)$ 代入到式(7)可得 H_a 的值为

$$H_a = -\frac{x_1^*}{L_F}x_1 - \frac{x_2^*}{L_F}x_2 + \eta\left(\frac{x_3^2}{2} - x_3x_3^*\right) - \frac{x_3^2}{2C_F} - \frac{x_4^2}{2C_F} + \mu\left(\frac{x_4^2}{2} - x_4x_4^*\right) - \frac{x_5^*}{C_{dc}}x_5, \quad (20)$$

进而可知闭环系统的哈密顿能量函数 H_d 为

$$H_d = \frac{x_1^2 + x_2^2}{2L_F} + \eta\left(\frac{x_3^2}{2} - x_3x_3^*\right) + \mu\left(\frac{x_4^2}{2} - x_4x_4^*\right) - \frac{x_1^*}{L_F}x_1 - \frac{x_2^*}{L_F}x_2 + \frac{x_5^2}{2C_{dc}} - \frac{x_5^*}{C_{dc}}x_5. \quad (21)$$

由于海森矩阵

$$\frac{\partial^2 H_d}{\partial x^2}|_{x=x^*} = \begin{bmatrix} \frac{1}{L_F} & 0 & 0 & 0 & 0 \\ 0 & \frac{1}{L_F} & 0 & 0 & 0 \\ 0 & 0 & \eta & 0 & 0 \\ 0 & 0 & 0 & \mu & 0 \\ 0 & 0 & 0 & 0 & \frac{1}{C_{dc}} \end{bmatrix} > 0, \quad (22)$$

则由系统的Lyapunov稳定性可知, 系统在平衡点 x^* 处是稳定的. 容易验证包含在集合

$$\{x \in \mathbb{R}^n | \frac{\partial^T H_d}{\partial x} R_d \frac{\partial H_d}{\partial x} = 0\} \quad (23)$$

中, 闭环系统(6)的最大不变集仅有集合 $\{x^*\}$. 由 LaSalle 不变集定理^[14]可知 $\{x^*\}$ 是系统渐进稳定的平衡点.

综上, 将 $k_i(x)(i = 1, 2, 3, 4, 5)$ 代入到式(13)中, 可以得到系统的控制律

$$\left\{ \begin{array}{l} u_d = \frac{1}{v_{dc}^*} [v_{Ld} - R_F i_{Fd}^* + \omega L_F i_{Fq}^* - v_{Cd} + \\ R_{a1}(i_{Fd} - i_{Fd}^*) + \eta C_F (v_{Cd} - v_{Cd}^*)], \\ u_q = \frac{1}{v_{dc}^*} [v_{Lq} - R_F i_{Fq}^* - \omega L_F i_{Fd}^* - v_{Cq} + \\ R_{a2}(i_{Fq} - i_{Fq}^*) + \mu C_F (v_{Cq} - v_{Cq}^*)]. \end{array} \right. \quad (24)$$

基于以上分析, 可以得到SHAPF系统控制框图如图2所示.

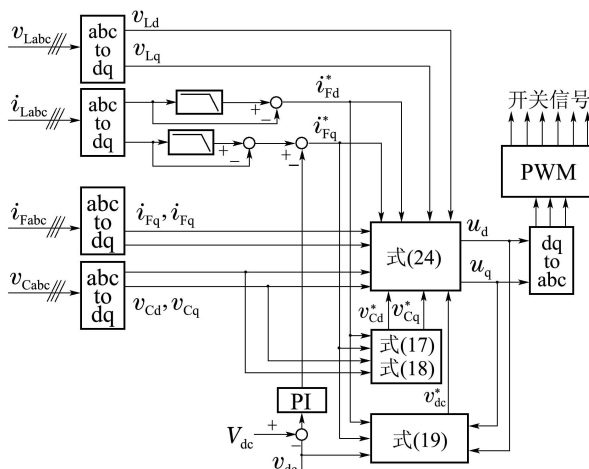


图2 SHAPF控制框图

Fig. 2 Proposed control structure of the SHAPF

5 仿真实验研究(Simulation and results)

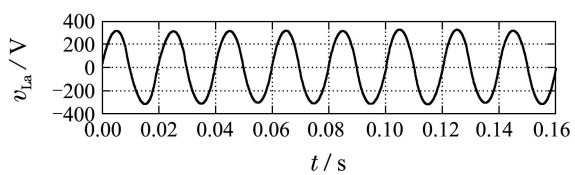
为了验证本文所提控制策略在SHAPF控制中的正确性和有效性, 基于MATLAB/Simulink环境设计了针对如图1所示的系统仿真实验, 并且与传统LQR方法^[16]进行了对比研究. 本文选取 $R_a = \text{diag}\{100, 100, 50, 50, 50\}$, $\eta = \mu = \frac{1}{C_F}$, LQR的反馈矩阵 $F = \begin{bmatrix} 100 & 50 & 0 & 0 \\ 0 & 0 & 100 & 50 \end{bmatrix}$. 其他系统参数的设置如表1所示.

图3为非线性负载 L_1 时, PCC处的电压 v_{La} 波形、负载电流 i_{La} 波形及其频谱. 由图3可知, 负载电流畸变比较严重, 其总谐波畸变率(total harmonic distortion, THD)为24.42%.

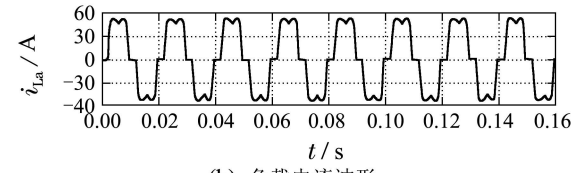
表1 系统仿真参数

Table 1 System parameters for simulation

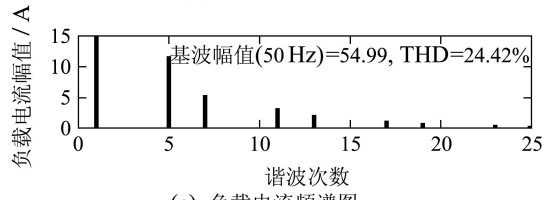
系统参数	数值
理想电网电压 v_S (有效值)和频率	220 V/50 Hz
电网侧等效电感 L_S	0.01 mH
无源滤波器 C_F , L_F 和 R_F	125 uF/1.93 mH/0.02 Ω
直流侧电容 C_{dc}	10000 uF
直流侧电容电压给定值 V_{dc}	160 V
直流侧PI控制器 k_p 和 k_i	2, 1
PWM频率	10 kHz
三相整流桥负载 L_1	10 Ω/5 mH
三相整流桥负载 L_2	15 Ω/5 mH



(a) PCC处的电压波形



(b) 负载电流波形



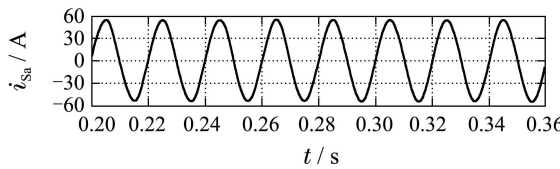
(c) 负载电流频谱图

图3 PCC处的电压、负载电流波形和负载电流频谱

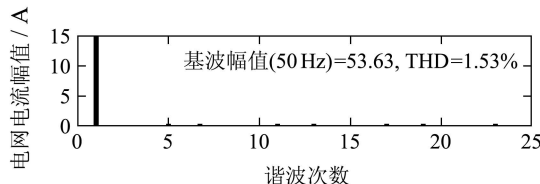
Fig. 3 Voltage of the PCC, load current and its spectrum

分别采用本文所提控制策略和传统的LQR方法进行谐波补偿, 稳态时电网电流波形及其频谱分

别如图4和图5所示。通过对比和分析可知,采用本文所提控制策略对电网谐波电流的补偿效果明显比LQR方法更好,治理后电网电流的谐波含量大大降低。

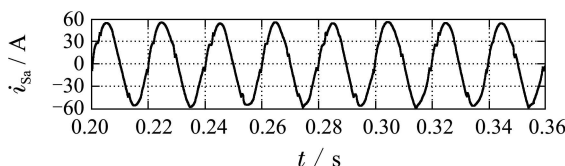


(a) 采用本文所提控制策略补偿后电网电流波形

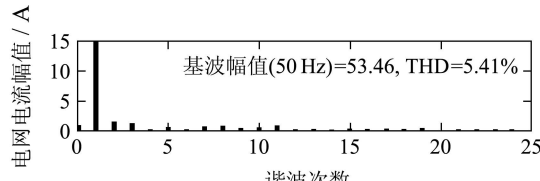


(b) 采用本文所提控制策略补偿后电网电流频谱图

图 4 采用本文所提控制策略补偿后电网电流及其频谱
Fig. 4 Source current and its spectrum after compensation with proposed control strategy



(a) 采用LQR方法补偿后电网电流波形

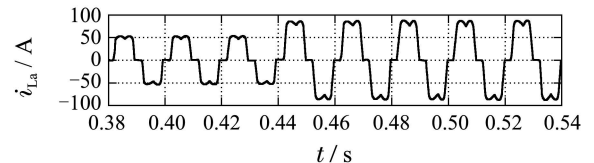


(b) 采用LQR方法补偿后电网电流频谱图

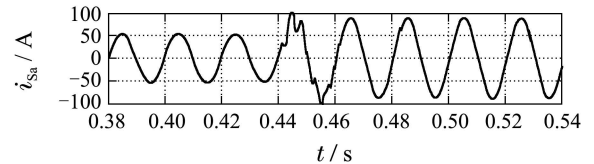
图 5 采用LQR方法补偿后电网电流及其频谱
Fig. 5 Source current and its spectrum after compensation with LQR method

为了验证控制策略对非线性负载变化的干扰抑制能力,在 $t = 0.44$ s时,非线性负载 L_2 投入电网。分别在本文所提控制策略和LQR方法下,得到系统的动态响应波形如图6和图7所示。

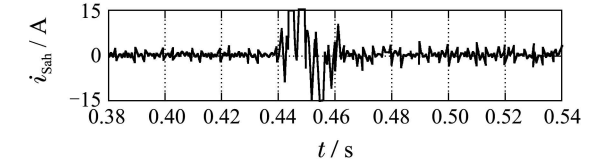
从仿真结果可知,电网电流在负载变化时失去正弦特性,采用本文所提控制策略时,电网电流经过大约1个周波即可进入稳定,稳态时电网电流THD = 1.55%,且直流侧电压波动很小,能够很好的稳定在160 V;而采用LQR方法时,进入稳态后电网电流THD = 3.65%,并且直流侧电压在调节过程中和稳态时的波动均较大。这说明了在负载变化时,本文所提控制策略比LQR方法对负载变化具有更强的鲁棒性。



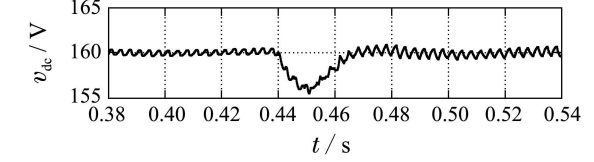
(a) 负载电流波形



(b) 采用本文所提控制策略补偿后电网电流波形



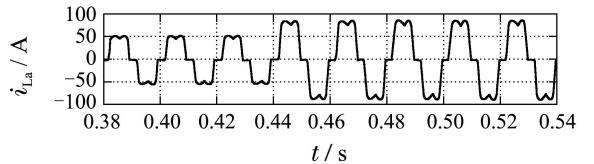
(c) 采用本文所提控制策略补偿后电网谐波电流波形



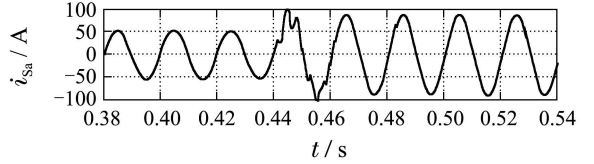
(d) 采用本文所提控制策略补偿后直流侧电压波形

图 6 采用本文所提控制策略系统对负载变化的动态响应

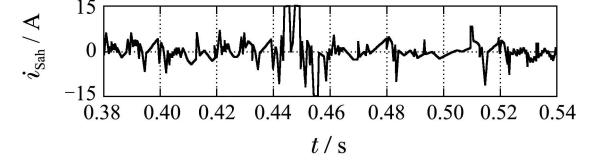
Fig. 6 System performance under dynamic load condition with proposed strategy



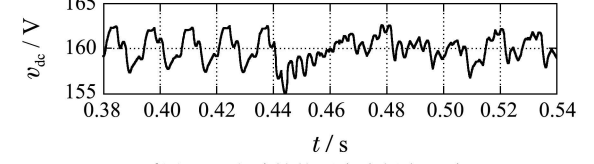
(a) 负载电流波形



(b) 采用LQR方法补偿后电网电流波形



(c) 采用LQR方法补偿后电网谐波电流波形



(d) 采用LQR方法补偿后直流侧电压波形

图 7 采用LQR方法系统对负载变化的动态响应波形
Fig. 7 System performance under dynamic load condition with LQR method

6 结论(Conclusions)

由于SHAPF系统复杂的非线性特性,不易设计其控制器以达到理想的谐波补偿效果。本文基于SHAPF自身的无源性,将哈密顿系统理论应用到SHAPF建模当中,建立了系统PCH周期平均模型,然后根据IDA-PBC方法,提出了一种新的SHAPF非线性控制策略。仿真结果表明,本文所提控制策略能够有效的消除电网中的谐波电流,并且与传统LQR方法相比,该控制策略具有更好的稳态补偿效果和对负载变化的干扰抑制能力。本文的研究不仅为SHAPF非线性控制提供了新途径,而且具有较强的实际价值。

参考文献(References):

- [1] 王兆安, 杨君, 刘进军. 谐波抑制和无功功率补偿[M]. 北京: 机械工业出版社, 1998.
(WANG Zhaoan, YANG Jun, LIU Jinjun. *Harmonic Suppression and Reactive Power Compensation* [M]. Beijing: China Machine Press, 1998.)
- [2] 乐江源, 谢运祥, 公伟勇, 等. 单相有源电力滤波器非线性统一控制策略[J]. 控制理论与应用, 2011, 28(5): 652–658.
(LE Jiangyuan, XIE Yunxiang, GONG Weiyong, et al. Nonlinear unified control for single-phase active power filter [J]. *Control Theory & Applications*, 2011, 28(5): 652–658.)
- [3] FUJITA H, AKAGI H. A practical approach to harmonic compensation in power-systems-series connection of passive and active-filters [J]. *IEEE Transactions on Industry Application*, 1991, 27(6): 1020–1025.
- [4] 肖湘宁, 徐永海. 混合型有源电力滤波器的研究 [J]. 电网技术, 1997, 21(2): 48–52.
(XIAO Xiangning, XU Yonghai. Research on hybrid active filter [J]. *Power System Technology*, 1997, 21(2): 48–52.)
- [5] 邓占峰, 朱东起, 姜新建. 降低有源部分容量的混合电力滤波器 [J]. 清华大学学报(自然科学版), 2003, 43(3): 293–295.
(DENG Zhanfeng, ZHU Dongqi, JIANG Xinjian. Reduced rating of active filter in hybrid power filter [J]. *Journal of Tsinghua University (Science & Technology)*, 2003, 43(3): 293–295.)
- [6] 吴敬兵, 罗安, 彭双剑, 等. 一种混合有源电力滤波器的电流控制新方法 [J]. 控制理论与应用, 2011, 28(8): 1151–1158.
(WU Jingbing, LUO An, PENG Shuangjian, et al. Novel approach of current control for hybrid active power filter [J]. *Control Theory & Applications*, 2011, 28(8): 1151–1158.)
- [7] SRIANTHUMRONG S, AKAGI H. A medium-voltage transformerless ac/dc power conversion system consisting of a diode rectifier and a shunt hybrid filter [J]. *IEEE Transactions on Industry Application*, 2003, 39(3): 874–882.
- [8] RAHMANI S, HAMADI A, MENDALEK N, et al. A new control technique for three-phase shunt hybrid power filter [J]. *IEEE Transactions on Industrial Electronics*, 2009, 56(8): 2904–2915.
- [9] 郭伟峰, 武健, 徐殿国, 等. 新型滑模控制的并联混合有源电力滤波器 [J]. 中国电机工程学报, 2009, 29(27): 29–35.
(GUO Weifeng, WU Jian, XU Dianguo, et al. Hybrid shunt active power filter based on novel sliding mode control [J]. *Proceedings of the CSEE*, 2009, 29(27): 29–35.)
- [10] RAHMANI S, HAMADI A, AL-HADDAD K. A Lyapunov-function-based control for a three-phase shunt hybrid active filter [J]. *IEEE Transactions on Industrial Electronics*, 2012, 59(3): 1418–1429.
- [11] BATTILOTTI S, LANARI L. Adaptive disturbance attenuation with global stability for rigid and elastic joint robots [J]. *Automatica*, 1997, 33(2): 239–243.
- [12] JELTSEMA D, SCHERPEN J M A. Tuning of passivity-preserving controllers for switched-mode power converters [J]. *IEEE Transactions on Automatic Control*, 2004, 49(8): 1333–1344.
- [13] WANG Y Z, CHENG D Z, LI C W, et al. Dissipative Hamiltonian realization and energy-based L_2 -disturbance attenuation control of multimachine power systems [J]. *IEEE Transactions on Automatic Control*, 2003, 48(8): 1428–1433.
- [14] ORTEGA R, VAN DER SCHAFT A J, ESCOBAR G. Interconnection and damping assignment passivity-based control of port-controlled Hamiltonian systems [J]. *Automatica*, 2002, 38(4): 585–596.
- [15] 刘会金, 张振环. 基于PCH模型的APF非线性 L_2 增益控制新方法 [J]. 电力系统及其自动化学报, 2008, 20(2): 9–16.
(LIU Huijin, ZHANG Zhenhuan. Novel nonlinear L_2 gain control method for active power filter based on port controlled Hamiltonian model [J]. *Proceedings of the Chinese Society of Universities*, 2008, 20(2): 9–16.)
- [16] LEDWICH G, GHOSH A. A unified power quality conditioner (UPQC) for simultaneous voltage and current compensation [J]. *Electric Power Systems Research*, 2001, 59(1): 55–63.

作者简介:

鲁伟 (1987-), 男, 博士研究生, 主要研究方向为电能质量分析与治理, E-mail: lu-w09@mails.tsinghua.edu.cn;

徐长波 (1982-), 男, 博士研究生, 主要研究方向为电网谐波治理与电力系统非线性控制, E-mail: xcb07@mails.tsinghua.edu.cn;

李春文 (1958-), 男, 教授, 博士生导师, 主要研究方向为非线性系统分析与控制、电力系统控制及运动控制等, E-mail: lcw@mail.tsinghua.edu.cn.